

# Uticaj pH i masenog udela $(\text{NH}_4)_2\text{SO}_4$ , $\text{ZnCl}_2$ , $\text{HCOOH}$ , $\text{H}_2\text{SO}_4$ i $\text{ZnSO}_4$ na vreme očvršćavanja urea-formaldehidnih smola

---

*Ispitivano je vreme očvršćavanja urea-formaldehidnih smola u zavisnosti od pH vrednosti i masenog udela sledećih katalizatora: amonijumsulfata, cinkhlorida, mravlje kiseline, sumporne kiseline i cinksulfata. Kako je najkraće vreme očvršćavanja dobijeno pri masenom udelu do 5%, svi ispitivani katalizatori podnisi su za primenu u industriji. Najefikasniji katalizator je sumporna kiselina, dok su nešto slabiji amonijumsulfat i cinkhlorid. Zavisnost vremena očvršćavanja smole od pH vrednosti sredine nije zapažena.*

---

## Uvod

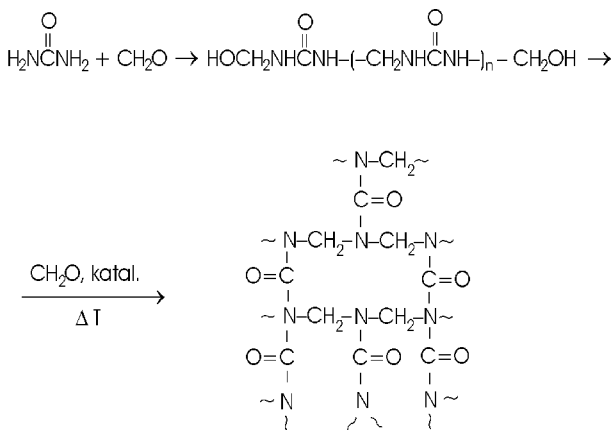
U industriji papira, staklenih i mineralnih vlakana, ploča iverica, koriste se tri osnovne vrste vezujućih smola: urea-formaldehidne, fenol-formaldehidne i karbamidno-melaminske-formaldehidne. Najširu primenu imaju urea-formaldehidne smole jer su najjeftinije i dobro su vezujuće sredstvo (Kostić 1980; Marković 1980).

Reakcijom karbamida sa formaldehidom pri pH 7–8 odigrava se polimerizacija i tom prilikom nastaju smole malih relativnih molekulskih masa. Molekuli formaldehida povezuju molekule karbamida. Pri povišenim temperaturama nastavlja se polimerizacija i dolazi do unakrsnih povezivanja i stvaranja metilenskih mostova. Od tečne smole nastaje čvrsti produkt – slika 1 (Pine *et al.* 1984; Nejland 1990).

Važnu ulogu u završnom delu reakcije ima katalizator. Količina katalizatora koja se dodaje reakcionaloj smeši kreće se od 0–10 %. Za svaki katalizator postoji optimalna količina posle čijeg se daljeg dodavanja vreme očvršćavanja više ne smanjuje (ili smanjuje vrlo malo). Povećanjem količine katalizatora znatno se pogoršavaju kvalitet i fizičke osobine smole (Marković 1980; Janc *et al.* 1981).

---

Dejan Petrović  
(1980), Rača, Đure  
Jakšića 10/6, učenik  
2. razreda  
Elektrotehničke škole  
u Rači



Slika 1.  
Polimerizacija  
urea-formaldehidne  
smole.

Figure 1.  
Polymerisation of  
urea-formaldehyde  
resin.

## Metod

Za ispitivanja je korišćena urea-formaldehidna smola proizvedena u Hemijskoj industriji HINS u Novom Sadu. Katalizatori nisu korišćeni u čvrstom stanju (zbog heterogenosti sistema koji nastaje), već u obliku rastvora. Zbog različite rastvorljivosti koncentracije rastvora katalizatora treba da su od 20 do 30 procenata. Da bi se olakšao rad napravljeni su 23.5%-tni rastvori  $(\text{NH}_4)_2\text{SO}_4$ ,  $\text{ZnCl}_2$ ,  $\text{HCOOH}$ ,  $\text{H}_2\text{SO}_4$  i 11.75%-tni rastvor  $\text{ZnSO}_4$  zbog njegove slabije rastvorljivosti. Najpre je izmereno vreme očvršćavanja smole bez uticaja katalizatora. Katalizatori su dodavani u koracima od 0.25% masenog udela, sve dok vreme očvršćavanja smole nije postali približno isto. (Uzorcima smole ( $8 \text{ cm}^3$ ) dodavano je po  $0.1 \text{ cm}^3$   $(\text{NH}_4)_2\text{SO}_4$ ,  $\text{ZnCl}_2$ ,  $\text{HCOOH}$ ,  $\text{H}_2\text{SO}_4$  i  $0.2 \text{ cm}^3$   $\text{ZnSO}_4$ , odnosno 0.25% masenog udela katalizatora u odnosu na smolu. Očvršćavanje smole izvođeno je u vodenom kupatilu na  $100^\circ\text{C}$ .

## Rezultati i diskusija

Osobine svih ispitivanih katalizatora zadovoljavaju uslove za korišćenje u industriji, pošto je najkraće vreme očvršćavanja dobijeno pri masenom udelu ispod 5% (tabela 1). *Sumporna kiselina* se pokazala kao najefikasniji katalizator od ispitanih. Za nju je najkraće vreme očvršćavanja postignuto pri malim masenim udelima od 0.75–2%. Pri tome je pH bio od 1.5–1 (tabela 2). Mali maseni ideo odgovara kvalitetu smole pa je pri polimerizaciji preporučljivo korišćenje  $\text{H}_2\text{SO}_4$  kao katalizatora.

*Amonijumsulfat* se isto pokazao kao veoma efikasan katalizator. Nakraće vreme očvršćavanja postignuto je pri masenom udelu od 2% i pH = 5. Pošto je 2% mali maseni ideo, to znači da se  $(\text{NH}_4)_2\text{SO}_4$  može koristiti u industriji i da ne remeti kvalitet i fizičke osobine smole.

*Cinkhlorid* ima sličnu efikasnost kao  $(\text{NH}_4)_2\text{SO}_4$ . Najkraće vreme očvršćavanja posignuto je pri masenom udelu od 1.75% i pH = 5.5. Takođe je moguća primena u industriji.

Sa *mravljom kiselinom* najkraće vreme očvršćavanja postignuto je pri masenom udelu od 2.5% i pH = 2. Zbog nešto dužeg vremena očvršćavanja (tabela 1) nije povoljna za korišćenje pri polimerizaciji smola.

*Cinksulfat* ima katalitičko dejstvo, ali pošto je njegova koncentracija bila duplo manja od ostalih, moguće je da je zbog veće količine  $\text{H}_2\text{O}$  polimerizacija tekla sporije. Najkraće vreme očvršćavanja postignuto je pri masenom udelu od 5%, što jedino odskače od ostalih vrednosti.

Zajedničko za većinu katalizatora je da je najkraće vreme očvršćavanja postignuto pri masenim udelima od oko 2%. Neka značajna zavisnost vremena očvršćavanja smole od pH sredine nije zapažena.

Tabela 1. Zavisnost vremena očvršćavanja smola od masenog udela katalizatora

| w (%) | Vreme očvršćavanja (mm:ss)   |                 |                |                         |                 |
|-------|------------------------------|-----------------|----------------|-------------------------|-----------------|
|       | $(\text{NH}_4)_2\text{SO}_4$ | $\text{ZnCl}_2$ | $\text{HCOOH}$ | $\text{H}_2\text{SO}_4$ | $\text{ZnSO}_4$ |
| 0     | 60 m.                        | 60 m.           | 60 m.          | 60 m.                   | 60 m.           |
| 0.25  | 18m. 10s.                    | 12m. 10s.       | 14m. 12s.      | 11m. 33s.               | 23m. 10s.       |
| 0.5   | 5m. 51s.                     | 4m. 30s.        | 7m. 49s.       | 1m. 30s.                | 17m. 30s.       |
| 0.75  | 3m. 7s.                      | 3m. 15s.        | 6m. 20s.       | 0m. 56s.                | 16m. 43s.       |
| 1     | 2m. 10s.                     | 2m. 20s.        | 5m. 21s.       | 0m. 44s.                | 15m. 17s.       |
| 1.25  | 1m. 54s.                     | 1m. 55s.        | 3m. 10s.       | 0m. 39s.                | 15m. 25s.       |
| 1.5   | 1m. 26s.                     | 1m. 39s.        | 2m. 41s.       | 0m. 30s.                | 15m. 15s.       |
| 1.75  | 1m. 4s.                      | 1m. 30s.        | 2m. 33s.       | 0m. 20s.                | 13m. 00s.       |
| 2     | 0m. 55s.                     | 1m. 31s.        | 2m. 20s.       | 0m. 10s.                | 11m. 00s.       |
| 2.25  | 0m. 52s.                     | 1m. 28s.        | 2m. 15s.       | 0m. 0s.                 | 8m. 30s.        |
| 2.5   | 0m. 53s.                     | 1m. 29s.        | 1m. 50s.       | 0m. 0s.                 | 6m. 36s.        |
| 2.75  | 0m. 52s.                     | 1m. 27s.        | 1m. 45s.       | 0m. 0s.                 | 5m. 30s.        |
| 3     | 0m. 53s.                     | 1m. 27s.        | 1m. 47s.       | 0m. 0s.                 | 4m. 60s.        |
| 3.25  | 0m. 52s.                     | 1m. 27s.        | 1m. 46s.       | 0m. 0s.                 | 4m. 05s.        |
| 3.5   | 0m. 53s.                     | 1m. 26s.        | 1m. 45s.       | 0m. 0s.                 | 3m. 33s.        |
| 3.75  | 0m. 52s.                     | 1m. 26s.        | 1m. 44s.       | 0m. 0s.                 | 2m. 56s.        |
| 4     | 0m. 52s.                     | 1m. 25s.        | 1m. 43s.       | 0m. 0s.                 | 2m. 45s.        |
| 4.25  | 0m. 51s.                     | 1m. 25s.        | 1m. 43s.       | 0m. 0s.                 | 2m. 25s.        |
| 4.5   | 0m. 51s.                     | 1m. 25s.        | 1m. 42s.       | 0m. 0s.                 | 2m. 10s.        |
| 4.75  | 0m. 52s.                     | 1m. 26s.        | 1m. 42s.       | 0m. 0s.                 | 2m. 00s.        |
| 5     | 0m. 51s.                     | 1m. 26s.        | 1m. 41s.       | 0m. 0s.                 | 1m. 56s.        |

w – maseni udeo katalizatora (%)

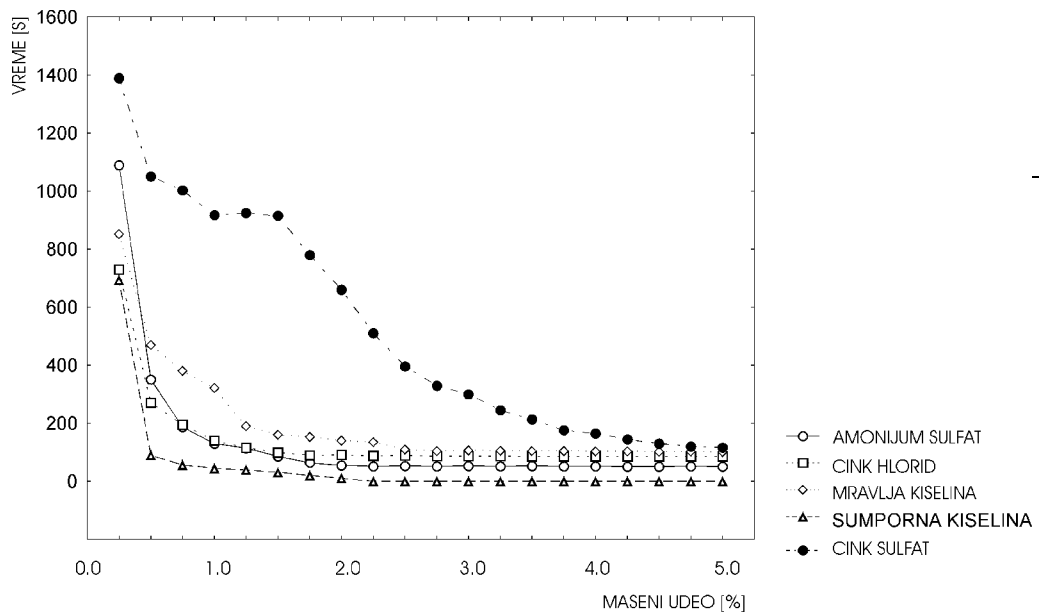


Tabela 2. Zavisnost pH od masenog udela katalizatora

| w (%) | pH vrednost                  |                 |                |                         |                 |
|-------|------------------------------|-----------------|----------------|-------------------------|-----------------|
|       | $(\text{NH}_4)_2\text{SO}_4$ | $\text{ZnCl}_2$ | $\text{HCOOH}$ | $\text{H}_2\text{SO}_4$ | $\text{ZnSO}_4$ |
| 0     | 8.5                          | 8.5             | 8.5            | 8.5                     | 8.5             |
| 0.25  | 6.5                          | 7               | 5.5            | 4.5                     | 7               |
| 0.50  | 6                            | 6.5             | 5              | 3                       | 6.5             |
| 0.75  | 6                            | 6               | 4.5            | 2                       | 6.5             |
| 1     | 6                            | 6               | 4              | 1.5                     | 6.5             |
| 1.25  | 5.5                          | 6               | 3.5            | 1.5                     | 6.5             |
| 1.50  | 5.5                          | 5.5             | 3              | 1.5                     | 6.5             |
| 1.75  | 5.5                          | 5.5             | 2.5            | 1.5                     | 6.5             |
| 2     | 5                            | 5.5             | 2.5            | 1                       | 6               |
| 2.25  | 5                            | 5.5             | 2              | 1                       | 6               |
| 2.50  | 5                            | 5.5             | 2              | 1                       | 6               |
| 2.75  | 4.5                          | 5.5             | 2              | 1                       | 6               |
| 3     | 4.5                          | 5               | 2              | 1                       | 5.5             |
| 3.25  | 4.5                          | 5               | 2              | 1                       | 5.5             |
| 3.50  | 4.5                          | 5               | 2              | 1                       | 5.5             |
| 3.75  | 4.5                          | 5               | 2              | 1                       | 5.5             |
| 4     | 4.5                          | 5               | 2              | 1                       | 5.5             |
| 4.25  | 4.5                          | 5               | 2              | 1                       | 5.5             |
| 4.50  | 4.5                          | 5               | 2              | 1                       | 5.5             |
| 4.75  | 4.5                          | 5               | 2              | 1                       | 5.5             |
| 5     | 4.5                          | 5               | 2              | 1                       | 5.5             |

## Literatura

- Pine, S.Hendrickson, J.Cram, D.Hammond, G. 1984. *Organska kemija*. Zagreb: Školska knjiga
- Nejland, O. Ya. 1990. *Organicheskaya khimiya*. Moskva: Vyshaya shkola
- Dipl. ing. Kostić, V. Dr. Kostić, LJ. 1980. *Hemijsko tehnolški leksikon*. Beograd: Rad.
- Marković, N. 1980. *Ploče, elementi i proizvodi na bazi isitnjeneog drveta*, II deo. Beograd: Skriptarnica Šumarskog fakulteta.
- Janc, A., Šebenik, A., Osredkar., V., Vizovišek, I. 1981. Uticaj molskog udela na strukturu urea-formaldehidnih smola. *Hemiski pregled*,

---

Dejan Petrović

### Dependence of pH and Mass-percentage of $(\text{NH}_4)_2\text{SO}_4$ , $\text{ZnCl}_2$ , $\text{HCOOH}$ , $\text{H}_2\text{SO}_4$ and $\text{ZnSO}_4$ to Solidification of Urea-formaldehyde Resin.

The effect of pH value and mass percentage of catalysts: ammonium-sulphate, zinkchloride, formic acid, sulphuric acid and zinksulphate on the time of solidification of urea-formaldehyde resin was examined. The most effective catalyst was  $\text{H}_2\text{SO}_4$ , with mass percentage 0.75–2% and pH 1.5–1. Somewhat less effective were  $(\text{NH}_4)_2\text{SO}_4$  (mass percentage is 2% and pH is 5), and  $\text{ZnCl}_2$ . (1.75% and 5.5). The shortest time of solidification was reached when the mass percentage of catalysts was less than 2% for all catalysts were studied. Therfore, they are suitable for use in the industry. No significant effect of pH value to solidification was observed.

